

doi: 10.3969/j.issn.2095-0411.2024.05.001

# 中空球形 MoS<sub>2</sub>/C 复合材料的构筑及储锂性能

何大方, 陆俊泓, 朱晔, 黄洁, 王顺

(常州大学 石油化工学院, 江苏 常州 213164)

**摘要:** 二硫化钼(MoS<sub>2</sub>)是典型的层状过渡金属硫化物, 作为锂离子电池负极材料具有巨大的应用前景。文章采用热分解的方法合成了中空球形的纳米MoS<sub>2</sub>, 然后以盐酸多巴胺为碳源, 制备了表面包覆碳层的中空MoS<sub>2</sub>负极材料。采用XRD, Raman, SEM等方法系统表征了MoS<sub>2</sub>/C复合材料的晶型结构和形貌, MoS<sub>2</sub>/C负极材料的尺寸在150~250 nm, 表面碳层厚度为40~70 nm, 中空球形结构的纳米MoS<sub>2</sub>可以有效地缓解充放电过程中的剧烈体积效应, 表面碳层包覆可以有效改善MoS<sub>2</sub>的导电性, 同时增强了材料的结构稳定性。电化学测试表明, MoS<sub>2</sub>/C负极材料初始放电比容量高达1 132.1 mA·h/g, 经过50次循环后, 放电比容量仍有587.4 mA·h/g, 显示出了在锂离子电池负极材料领域的巨大应用潜力。

**关键词:** 锂离子电池; 负极材料; 二硫化钼; 碳

中图分类号: TB 332

文献标志码: A

文章编号: 2095-0411(2024)05-0001-09

## Preparation and lithium-storage properties of hollow sphere MoS<sub>2</sub>/C nanocomposites

HE Dafang, LU Junhong, ZHU Ye, HUANG Jie, WANG Shun

(School of Petrochemical Engineering, Changzhou University, Changzhou 213164, China)

**Abstract:** Molybdenum disulfide (MoS<sub>2</sub>) is a classical layered transition metal sulfide, which exhibits excellent performance as cathode materials for lithium-ion batteries. In this research, hollow spherical nano-MoS<sub>2</sub> was synthesized by thermal decomposition, and then the carbon coated MoS<sub>2</sub> was prepared with dopamine hydrochloride as carbon source. Various characterization techniques such as XRD, SEM, and Raman spectroscopy were used to analyze the composition and structure of MoS<sub>2</sub>/C nanocomposites. The size of MoS<sub>2</sub>/C nanocomposites is 150—250 nm and the thickness of carbon layer is 40—70 nm. The hollow spherical structure of nano MoS<sub>2</sub> can effectively alleviate the intense volume change during cycling. The coating of carbon layer on the surface can effectively improve the conduction.

收稿日期: 2024-03-20。

基金项目: 常州大学科研启动基金资助项目(ZMF20020438)。

作者简介: 何大方(1987—), 男, 江苏徐州人, 博士, 副教授。E-mail: dafanghe@cczu.edu.cn

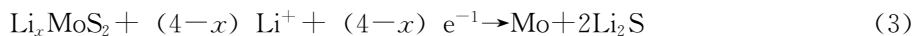
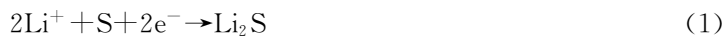
引用本文: 何大方, 陆俊泓, 朱晔, 等. 中空球形 MoS<sub>2</sub>/C 复合材料的构筑及储锂性能[J]. 常州大学学报(自然科学版), 2024, 36(5): 1-9.

tivity of MoS<sub>2</sub>, and enhance the structural stability. As a result, this novel ordered structure delivers a high initial specific capacity of 1 132.1 mA · h/g and remain 587.4 mA · h/g over 50 cycles, thus exhibiting great potential as an anode composite structure for durable high-rate lithium-ion batteries.

**Key words:** lithium-ion battery; anode; MoS<sub>2</sub>; carbon

锂离子电池以高的能量和功率密度、高工作电压、长循环寿命、无记忆效应及绿色环保等独特优势, 已经逐渐成为纯电动车(EV)、混合电动车(HEV)和航空航天等大型动力电源的首选。但是, 目前产业化的石墨负极材料的比容量(372 mA · h/g)和倍率性能已经远远不能满足实际的应用需求, 因此, 亟待开发新一代高比容量的负极材料取代石墨负极。

二硫化钼(MoS<sub>2</sub>)是一种典型的层状过渡金属硫化物, 结构类似于石墨烯, 这种金属硫化物由3层原子层(S—Mo—S)通过范德华力相互作用叠加而成, 能够让锂离子自由地进出, 作为锂离子电池负极材料具有较高的理论比容量。MoS<sub>2</sub>的储锂机理见式(1)~式(3), MoS<sub>2</sub>在充放电过程中会发生两次转换反应, 如式(1)和式(3)所示, 单质硫和钼的转换会导致材料发生剧烈的体积变化, 尤其是在深度放电的情况下, 很容易发生电极材料破碎和电池结构的坍塌, 从而引发电池容量严重的衰减<sup>[1]</sup>。此外, MoS<sub>2</sub>导电性较差, 导致电池内部阻抗较大, 严重阻碍了其在锂离子电池中的应用。



为了改善MoS<sub>2</sub>的电化学性能, 首先, 通常采用改变材料结构、形貌和纳米化等方法。纳米材料具有特殊的物理化学性质, 如小尺寸效应和表面量子效应等, 会显著增强材料在充放电过程中的结构稳定性; 其次, 在MoS<sub>2</sub>材料表面包覆无定型的碳层, 改善材料的导电性和缓冲充放电过程中的体积效应, 提高电池的循环稳定性。CHANG等<sup>[2]</sup>以钼酸钠、硫脲和葡萄糖为原料, 采用水热法制备MoS<sub>2</sub>/C复合材料, 电化学测试表明, 该方法制备的MoS<sub>2</sub>/C复合材料具有较高的比容量和良好的循环稳定性, 循环100次后比容量仍有912 mA · h/g。LUO等<sup>[3]</sup>报道一种通过聚乙烯吡咯烷酮(PVP)辅助制备亚微球MoS<sub>2</sub>/C复合材料, 电化学测试表明, 复合材料的首次充电比容量为1 037 mA · h/g, 100次循环后比容量仍为575 mA · h/g。LIANG等<sup>[4]</sup>通过表面活性剂PVP辅助水热反应制备出纳米尺寸的MoS<sub>2</sub>纳米片, 尺寸均匀, 片层厚度较薄, 有利于锂离子传输, 在500 mA/g的电流密度下, 循环20次后比容量为816 mA · h/g。这些研究有效改善了MoS<sub>2</sub>的电化学性能, 然而MoS<sub>2</sub>的长循环性能还难以满足实际应用需求, 还需要进一步设计新颖的MoS<sub>2</sub>复合结构来改善整体电极材料的导电性和提高MoS<sub>2</sub>的长循环稳定性。

文章首先通过将二维结构的MoS<sub>2</sub>卷曲为中空球形结构, 有效抑制了MoS<sub>2</sub>的体积膨胀, 提高电极结构的稳定性和电池的循环寿命, 同时该结构有效缩短了锂离子的传输路径, 增大了MoS<sub>2</sub>与电解液的接触面积, 提高了材料的比容量; 其次, 在中空球形MoS<sub>2</sub>的基础上, 通过聚多巴胺碳化形成MoS<sub>2</sub>/C复合材料, 避免MoS<sub>2</sub>与电解液直接接触, 表面的碳层包覆更有利于形成稳定的固体电解质界面膜(SEI膜), 缓冲电极材料的剧烈体积效应, 提高了材料的导电性能, 因此, 大幅度提升了MoS<sub>2</sub>/C复合材料的电化学性能。

# 1 实验

## 1.1 试 剂

四硫代钼酸铵(分析纯,阿法埃莎(中国)化学有限公司),水合肼(分析纯,98%,上海阿拉丁生化科技股份有限公司),N-甲基-2-吡咯烷酮(分析纯,99%,上海凌峰化学试剂有限公司),三氨基甲烷(分析纯,国药集团化学试剂有限公司),盐酸多巴胺(分析纯,上海阿拉丁生化科技股份有限公司)和盐酸(分析纯,36.0%~38.0%,国药集团化学试剂有限公司)。

## 1.2 仪 器

BS224S-CW型分析天平,购自赛多利斯科学仪器(北京)有限公司;KQ2200V型数控超声波清洗器,购自昆山市超声仪器有限公司;DF-101S型恒温加热磁力搅拌器,购自南京予华仪器设备有限公司;TG16-WS离心机,购自湖南湘仪实验室仪器开发有限公司;FD-1A-50冷冻干燥箱,购自上海比朗仪器制造有限公司;DZF-6050型真空干燥箱和DHG-9076A型电热鼓风干燥箱,购自上海精宏实验设备有限公司;OTF-1200X型管式炉,MSK-T-10型压片机,MSK-160D型纽扣电池封装机,购自合肥科晶材料技术有限公司;SC1200/750TS型手套箱,购自威格高纯气体设备科技有限公司;CT2001A型电池测试仪,购自武汉市蓝电电子股份有限公司;CHI660D型电化学工作站,购自上海辰华仪器有限公司。

## 1.3 步 骤

### 1.3.1 中空球形 MoS<sub>2</sub> 的制备

首先,称取0.26 g的(NH<sub>4</sub>)<sub>2</sub>MoS<sub>4</sub>粉体,转入锥形瓶中,加入160 mL的N-甲基-2-吡咯烷酮(NMP),保持搅拌20 min和超声10 min至(NH<sub>4</sub>)<sub>2</sub>MoS<sub>4</sub>粉体完全溶解。向以上体系中缓慢滴加10 mL水合肼,转移至80 °C的油浴锅中,并在锥形瓶口装上冷凝管冷凝回流,保持剧烈搅拌下反应10 h。待反应结束后,取出锥形瓶自然降温至室温,将体系转入离心管中,用去离子水离心洗涤产物5次,将产物放置于真空干燥箱中,35 °C干燥24 h。最后,将干燥后的固体粉末放置管式炉中,在氩气保护下,升温速率为5 °C/min,800 °C下煅烧2 h,得到中空球形的MoS<sub>2</sub>粉末。

### 1.3.2 MoS<sub>2</sub>/C 复合材料的制备

首先,称取2.4 g三氨基甲烷加入到200 mL去离子水中,搅拌溶解得到溶液A;配置0.1 mol/L的稀盐酸溶液,缓慢加入到溶液A中,直至pH约为8.5,得到三羟甲基氨基甲烷(Tris)盐酸盐缓冲溶液B。然后,称取80 mg中空球形MoS<sub>2</sub>加入到50 mL溶液B中,搅拌20 min和超声10 min,加入80 mg的盐酸多巴胺,搅拌10 min和超声20 min后,保持快速搅拌12 h。吸附结束后,将溶液进行离心分离,取出下层沉淀物,并用乙醇洗涤3次,去离子水洗涤2次,得到浆料。将浆料放置于真空干燥箱中35 °C干燥24 h。最后,将干燥后的固体粉末放置于管式炉中,在氩气保护下,升温速率为5 °C/min,900 °C下煅烧2 h得到最终产物MoS<sub>2</sub>/C复合材料粉末,合成流程如图1所示。

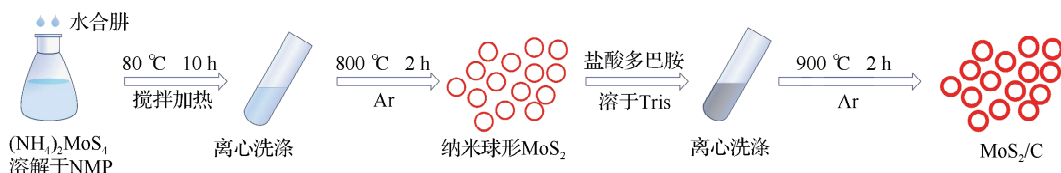


图1 中空球形 MoS<sub>2</sub> 和 MoS<sub>2</sub>/C 的合成示意图

Fig.1 Schematic illustration of preparation of MoS<sub>2</sub> and MoS<sub>2</sub>/C

## 1.4 电化学性能测试

将质量比为 80 : 10 : 10 的粉末样品 ( $\text{MoS}_2$  和  $\text{MoS}_2/\text{C}$ )、乙炔黑(作为导电剂)和聚偏二氟乙烯(PVDF, 黏结剂)在 N-甲基-2-吡咯烷酮(NMP)中混合均匀, 然后将制备的浆料均匀涂覆在铜箔上, 并在 100 ℃下真空干燥 12 h。使用锂金属对电极和聚丙烯隔膜(Celgard2400)的双电极 2032 型电池来评估电化学性能。电解质是 1.0 mol/L  $\text{LiPF}_6$ , 溶剂为碳酸亚乙酯(EC)、碳酸二甲酯(DMC)和碳酸甲乙酯(EMC)混合物( $V(\text{EC}) : V(\text{DMC}) : V(\text{EMC}) = 1 : 1 : 1$ )。在充满氩气的手套箱中组装电池, 手套箱的  $\text{H}_2\text{O}$  和  $\text{O}_2$  的体积分数  $< 0.1 \times 10^{-6}$ 。在室温、 $3.0 \sim 0.01$  V(vs Li/Li<sup>+</sup>)电压范围内进行电池的恒流充电-放电测试。

## 2 结果与讨论

### 2.1 结构与微观形貌表征

图 2 为制备的中空球形  $\text{MoS}_2$  和  $\text{MoS}_2/\text{C}$  复合材料的 XRD 图。通过对比六方晶系的  $\text{MoS}_2$  (JCPDS 37-1492) 标准峰,  $\text{MoS}_2$  和  $\text{MoS}_2/\text{C}$  复合材料在  $14.2^\circ$ ,  $32.6^\circ$ ,  $39.3^\circ$ ,  $49.6^\circ$  和  $58.2^\circ$  位置的衍射峰分别对应六方相  $\text{MoS}_2$  的 (002) (100) (103) (105) 和 (110) 晶面, 说明本文合成的是纯相的  $\text{MoS}_2$  材料<sup>[5]</sup>。中空球形  $\text{MoS}_2$  在 (002) 面处有很强的衍射峰, 其中  $2\theta=14.2^\circ$ , 与块状的  $\text{MoS}_2$  峰的位置  $2\theta=14.4^\circ$  相吻合, 根据布拉格方程,  $\text{MoS}_2$  的层间距为 0.623 nm。 $\text{MoS}_2/\text{C}$  复合材料的碳化温度为 900 ℃, 包覆的碳层为无定型结构, XRD 图上没有明显的衍射峰。利用 Scherrer 公式, 可以通过 XRD 曲线计算样品的平均尺寸, 计算得出  $\text{MoS}_2$  的尺寸为 95 nm,  $\text{MoS}_2/\text{C}$  复合材料的尺寸为 166 nm, 颗粒尺寸的增加说明无定型碳成功地包覆在  $\text{MoS}_2$  表面<sup>[6]</sup>。

为了更好地说明碳包裹  $\text{MoS}_2$  的特殊结构, 文章比较了  $\text{MoS}_2$  和  $\text{MoS}_2/\text{C}$  复合材料的拉曼光谱, 如图 3 所示。 $\text{MoS}_2$  和  $\text{MoS}_2/\text{C}$  复合材料在  $378 \text{ cm}^{-1}$  和  $405 \text{ cm}^{-1}$  处的特征峰, 是由于六方晶系  $\text{MoS}_2$  的  $E_{2g}^1$  面内振动模式和  $A_g^1$  层间振动模式引起的。相比于纯中空球形  $\text{MoS}_2$ ,  $\text{MoS}_2/\text{C}$  复合材料在  $1350 \text{ cm}^{-1}$  和  $1580 \text{ cm}^{-1}$  处出现两个明显的特征峰,  $1350 \text{ cm}^{-1}$  处为 D 峰, 是由于碳  $\text{sp}^3$  键或者杂化缺陷  $\text{sp}^2$  键引起的, 它反映了碳的无序结构;  $1580 \text{ cm}^{-1}$  处为 G 峰, 是由于平面体结构  $\text{sp}^2$  键引起的, 较弱的 G 峰说明该碳结构结晶度低。这种无定型的碳具有比结晶石墨更高的储锂容量, 同时会存在明显的滞后现象, 即锂离子脱嵌的电位比嵌入的电位高<sup>[7]</sup>。

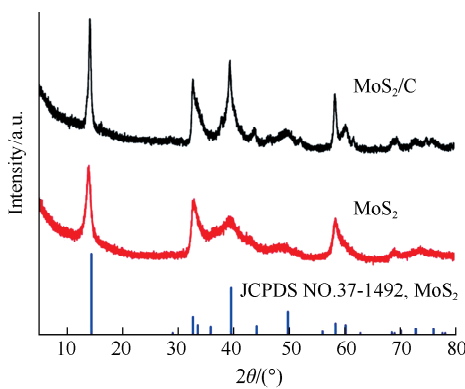


图 2  $\text{MoS}_2$  和  $\text{MoS}_2/\text{C}$  的 XRD 图

Fig.2 XRD patterns of  $\text{MoS}_2$  and  $\text{MoS}_2/\text{C}$

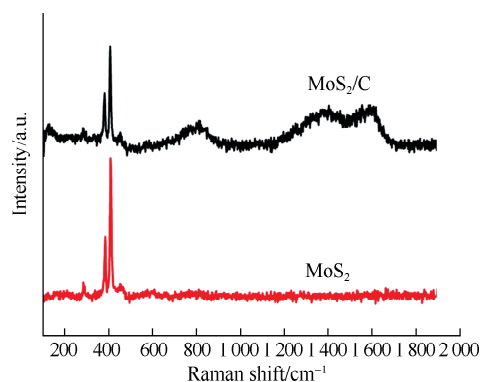


图 3  $\text{MoS}_2$  和  $\text{MoS}_2/\text{C}$  的 Raman 光谱

Fig.3 Raman spectrum of  $\text{MoS}_2$  and  $\text{MoS}_2/\text{C}$

图 4 为纯  $\text{MoS}_2$  和  $\text{MoS}_2/\text{C}$  复合材料的 SEM 图和  $\text{MoS}_2/\text{C}$  复合材料各元素分布图。图 4 (a) 和

图4 (b) 为制备的中空球形MoS<sub>2</sub> 在不同扫描倍数下观察的SEM图,从图4 (a) 和图4 (b) 中可以清楚地看出,合成的MoS<sub>2</sub> 整体都是典型的纳米球形结构,尺寸分布均一。由图4 (c) 高倍率下样品的TEM图,可以看出MoS<sub>2</sub> 为接近完美的球形,表面光滑,可以推断是由二维MoS<sub>2</sub> 卷曲而成,与其他文献报道的由多个MoS<sub>2</sub> 团簇形成的球形花状有着本质的区别<sup>[8-15]</sup>。此外,从图4 (a) 和图4 (c) 中几个破碎的球可以清楚地看出,球形MoS<sub>2</sub> 内部是空心的,证明这是由单层或少层的MoS<sub>2</sub> 卷曲而成,是一种类富勒烯结构的纳米材料。从图4 (c) 还可以看出MoS<sub>2</sub> 尺寸在70~110 nm,这与XRD计算的结果相符。中空球形结构具有较大的比表面积,可以提供更多的活性位点,可以有效提高MoS<sub>2</sub> 的电化学性能<sup>[16]</sup>。

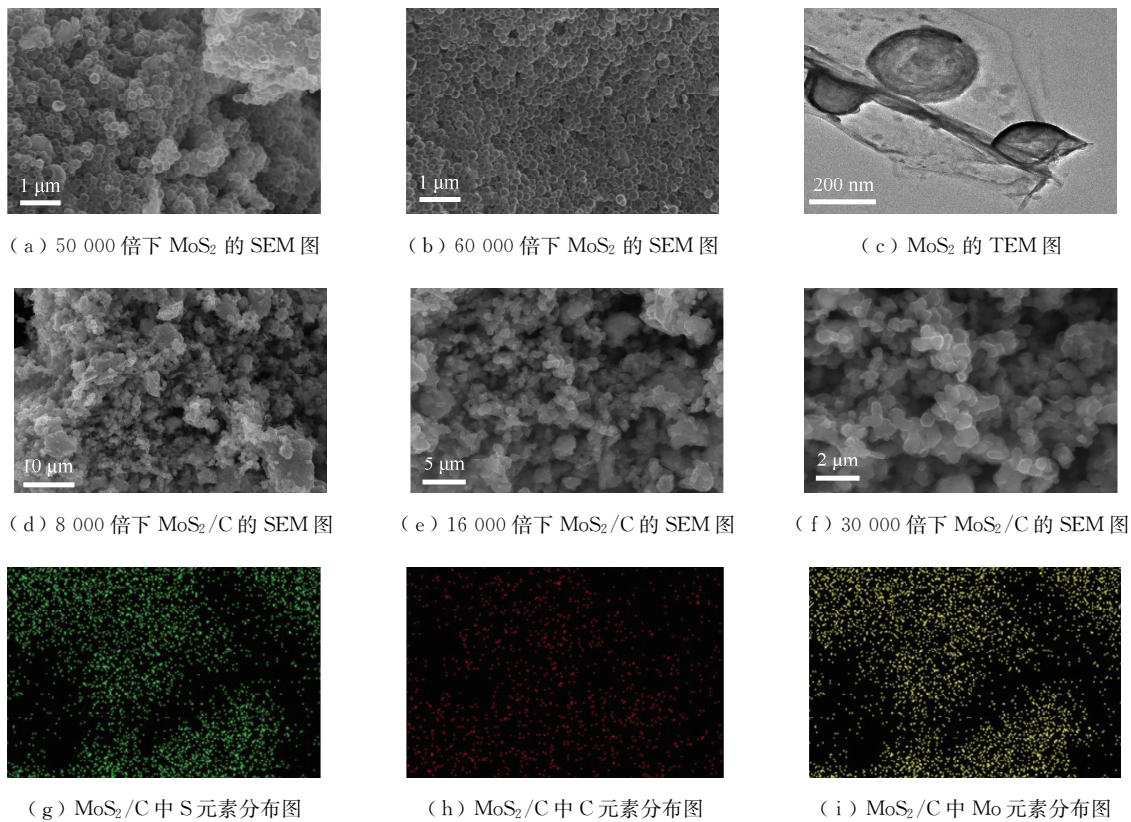


图4 纯MoS<sub>2</sub>和MoS<sub>2</sub>/C复合材料的SEM图和MoS<sub>2</sub>/C复合材料各元素分布图

Fig.4 SEM images of MoS<sub>2</sub>, MoS<sub>2</sub>/C, and elemental mapping images of MoS<sub>2</sub>/C

图4 (d) 和图4 (e) 为所制备的MoS<sub>2</sub>/C复合材料在不同扫描倍数下的SEM图片。MoS<sub>2</sub>/C复合材料是以中空球形MoS<sub>2</sub>为原料,通过表面吸附多巴胺和碳化,制备的表面包裹无定型碳的MoS<sub>2</sub>复合材料。复合材料的形貌不仅由原料MoS<sub>2</sub>决定,还与吸附是否均匀,包覆是否完整密切相关。从图4 (d) 中可以看出,MoS<sub>2</sub>/C复合材料主要由球形颗粒组成,说明球形的MoS<sub>2</sub>被包覆的过程中保持了原有的结构,图中没有发现透明度很高的纯MoS<sub>2</sub>,进一步说明了MoS<sub>2</sub>的表面碳层包覆非常致密。从图4 (e) 和图4 (f) 放大扫描倍数的SEM可以看到,表面碳包裹的MoS<sub>2</sub>形状是近似球形的,其中有些碳层将两个或者多个MoS<sub>2</sub>连接在一起形成更大的颗粒,从而形成了三维连续的通道和孔道,这有利于锂离子和电子的传输。从图4 (f) 中可以看出,MoS<sub>2</sub>/C复合材料尺寸分布于150~250 nm,比纯MoS<sub>2</sub>尺寸增加了1倍左右,所以表面碳层的厚度为40~70 nm。如图4 (g) ~图4 (i)所示,通过对MoS<sub>2</sub>/C复合材料中S,C和Mo元素的扫描表明3种元素在复合材料中分布均匀,进一步证实了MoS<sub>2</sub>表面碳层的均匀包覆<sup>[8]</sup>。

## 2.2 电化学性能

图 5 为  $\text{MoS}_2$  和  $\text{MoS}_2/\text{C}$  的 CV 曲线和充放电曲线。图 5 (a) 和图 5 (b) 分别为纯  $\text{MoS}_2$  和  $\text{MoS}_2/\text{C}$  复合材料的前 3 圈 CV 曲线, 扫描速率为 0.5 mV/s, 测试电压范围是 0.01~3 V。在第 1 圈的阴极扫描中, 纯  $\text{MoS}_2$  和  $\text{MoS}_2/\text{C}$  复合材料分别出现了 2 个还原峰, 电位平台分别为 0.72, 0.34 V 和 0.75, 0.20 V, 两种材料还原峰电位的差异可能是因为碳的包覆增加了电子传递速率, 而  $\text{MoS}_2$  导电性较差, 导致开始嵌入锂离子的电位发生延迟。其中, 纯  $\text{MoS}_2$  和  $\text{MoS}_2/\text{C}$  复合材料在 0.72 V 和 0.75 V 出现的还原峰归因于  $\text{Li}^+$  插入到  $\text{MoS}_2$  的层间形成  $\text{Li}_x\text{MoS}_2$ , 如式 (2) 所示, 结构由三棱柱立面体 2H 转变为八面体结构 1T 型<sup>[9]</sup>; 0.34, 0.20 V 出现的还原峰归因于  $\text{Li}_x\text{MoS}_2$  的转换反应过程, 如式 (3) 所示,  $\text{Li}_x\text{MoS}_2$  原位分解成金属 Mo 和  $\text{Li}_2\text{S}$ , Mo 颗粒嵌入到  $\text{Li}_2\text{S}$  基体中, 通过电化学驱动电解液降解形成凝胶状聚合物层。在第 1 圈的阳极扫描中, 纯  $\text{MoS}_2$  和  $\text{MoS}_2/\text{C}$  复合材料均出现了一个氧化峰 (2.40 V), 这是  $\text{Li}_2\text{S}$  转换成 S 和  $\text{Li}^+$  形成的, 如式 (1) 逆反应所示, 最后转换生成 S 和 Mo 的纳米粒子混合体。在随后的扫描过程中, 纯  $\text{MoS}_2$  出现 1.75, 1.00, 0.23 V 还原峰和 2.43 V 氧化峰,  $\text{MoS}_2/\text{C}$  复合材料出现 1.85, 1.00, 0.22 V 还原峰和 2.40 V 氧化峰。与第 1 圈不同的是, 两种材料在 0.72, 0.75 V 和 0.34, 0.20 V 处的还原峰的消失, 主要是由于  $\text{Li}_x\text{MoS}_2$  分解成 Mo 和  $\text{Li}_2\text{S}$  是不可逆的过程。新出现的 1.75, 1.85 V 还原峰是  $\text{Li}^+$  与单质 S 形成  $\text{Li}_2\text{S}$  造成的, 如式 (1) 所示, 而 1.0 V 的还原峰是金属 Mo 与  $\text{Li}^+$  的反应。第 2 圈和第 3 圈的氧化峰均在 2.4 V 左右, 这和第 1 圈几乎重合, 但纯  $\text{MoS}_2$  的氧化峰位置随循环次数的增加发生了偏移, 说明了纯  $\text{MoS}_2$  在循环过程中结构发生破坏, 循环稳定性较差。

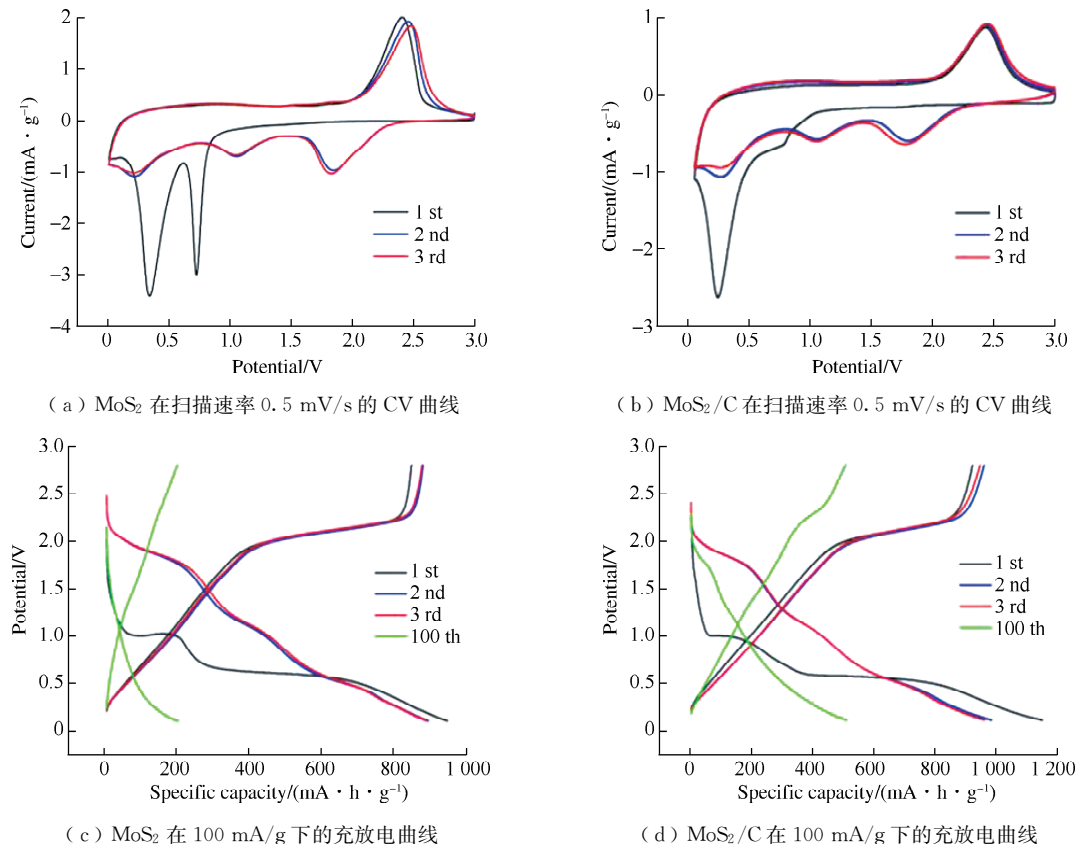


图 5  $\text{MoS}_2$  和  $\text{MoS}_2/\text{C}$  的 CV 曲线和充放电曲线

Fig.5 CV curves and charge/discharge curves of  $\text{MoS}_2$  and  $\text{MoS}_2/\text{C}$

图5(c)和图5(d)分别为纯MoS<sub>2</sub>和MoS<sub>2</sub>/C复合材料循环前3次和第100次的充放电曲线,电流密度为100 mA/g,测试电压是0.01~3 V。两种材料对应的充放电电压平台相近,在首次放电曲线中,均出现1 V和0.55 V两个电压平台,分别对应于形成Li<sub>x</sub>MoS<sub>2</sub>与分解成金属Mo和Li<sub>2</sub>S。而在第2次和第3次放电曲线中,均出现2.10,1.25,0.50 V3个电压平台,这与CV图出现3个新的还原峰相符合,其中,0.01~1 V的电压范围内为Li<sup>+</sup>在Li<sub>2</sub>S和Mo颗粒界面和孔隙之间的存储。在充电曲线中,均出现2.2 V的电压平台,对应于Li<sub>2</sub>S转换成S和Li<sup>+</sup>的过程<sup>[10-11]</sup>。

图6为中空球形MoS<sub>2</sub>和MoS<sub>2</sub>/C复合材料在不同电流密度下的循环性能。从图6可以清楚地看出,中空球形MoS<sub>2</sub>容量随循环次数增加快速降低,MoS<sub>2</sub>/C复合材料的循环性能较为稳定。图6(a)的电流密度为100 mA/g,纯MoS<sub>2</sub>的首次放电比容量为927.4 mA·h/g,经过200次循环后,放电比容量仅为96.4 mA·h/g,衰减严重;MoS<sub>2</sub>/C复合材料的初始放电比容量为1 132.1 mA·h/g,经过200次充放电循环后,放电比容量仍有462.5 mA·h/g。MoS<sub>2</sub>/C复合材料表现出良好的电化学性能,主要由于无定形碳层对MoS<sub>2</sub>的体积膨胀有较大的抑制作用,保护了材料结构的稳定性,同时提升了材料的导电性<sup>[12-13]</sup>。图6(b)是电流密度为200 mA/g时、循环500次的循环曲线,纯MoS<sub>2</sub>的放电比容量由926.2 mA·h/g降到168.4 mA·h/g;MoS<sub>2</sub>/C复合材料放电比容量由1 289.8 mA·h/g降到390.0 mA·h/g,从容量曲线变化趋势来看,两种材料的容量在循环200次后均在缓慢上升。图6(c)和图6(d)是电流密度为500 mA/g和1 000 mA/g时,循环800次和500次的循环曲线,纯MoS<sub>2</sub>放电比容量由1 000.1 mA·h/g降到102.2 mA·h/g,然后又升到240.3 mA·h/g;MoS<sub>2</sub>/C复合材料放电比容量由1 191.2 mA·h/g降到171.7 mA·h/g,然后又升到243 mA·h/g。从图6中可以发现,中空球形MoS<sub>2</sub>和MoS<sub>2</sub>/C复合材料容量损失主要在前50次循环,在循环400次后,材

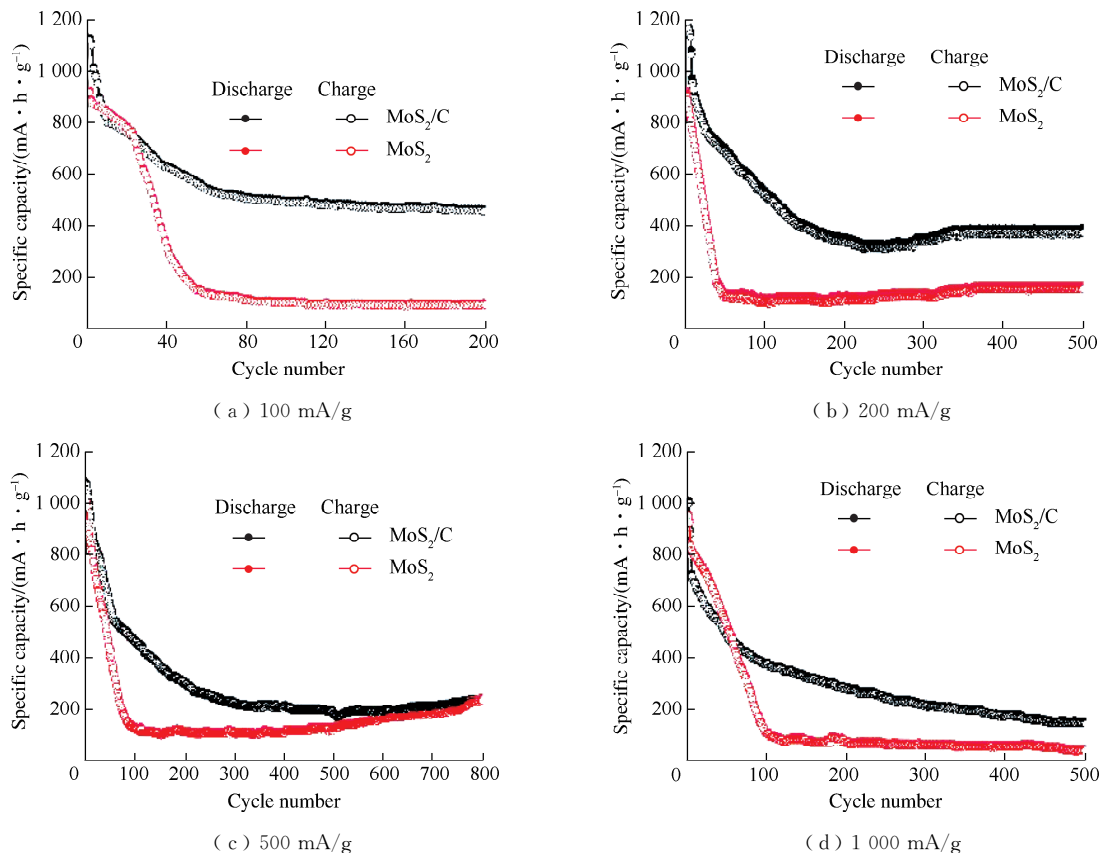


图6 MoS<sub>2</sub>和MoS<sub>2</sub>/C在不同电流密度下的循环性能

Fig.6 Cycling performance of MoS<sub>2</sub> and MoS<sub>2</sub>/C at different current density

料容量开始缓慢增加。这是由于电池充放电前期,  $\text{MoS}_2$  的转化反应伴随剧烈的体积效应使容量快速下降, 而碳层包覆可以有效缓冲体积效应, 进而减缓比容量的降低。随着充放电的进行, 重复的转化反应和体积效应导致电极材料结构的粉化, 形成体积更小的纳米  $\text{Li}_2\text{S}$  和  $\text{Mo}$  粒子, 增大了材料的比表面积, 界面储锂贡献的容量不断增加, 从而导致材料的放电容量缓慢增加<sup>[14]</sup>。

为了考察纯  $\text{MoS}_2$  和  $\text{MoS}_2/\text{C}$  复合材料的倍率性能, 表征了在不同电流密度下的充放电性能。由图 7 (a) 分析可知, 在电流密度为 100, 200, 400, 600, 1 000  $\text{mA/g}$  时,  $\text{MoS}_2$  的放电比容量分别为 874.0, 791.3, 434.0, 123.9, 41.7  $\text{mA} \cdot \text{h/g}$ ; 在电流密度为 100, 200, 400, 600, 1 000  $\text{mA/g}$  时,  $\text{MoS}_2/\text{C}$  的放电比容量分别为 1 029.1, 840.9, 694.1, 600.2, 456.1  $\text{mA} \cdot \text{h/g}$ 。当电流密度恢复到 100  $\text{mA/g}$  时,  $\text{MoS}_2$  和  $\text{MoS}_2/\text{C}$  的放电比容量分别提高到 363.3, 571.2  $\text{mA} \cdot \text{h/g}$ 。结果表明,  $\text{MoS}_2/\text{C}$  的倍率性能明显优于  $\text{MoS}_2$ , 尤其在 400  $\text{mA/g}$  的电流密度下,  $\text{MoS}_2$  的容量急剧下降, 而  $\text{MoS}_2/\text{C}$  的放电比容量依然为 694.1  $\text{mA} \cdot \text{h/g}$ , 在 1 000  $\text{mA/g}$  下,  $\text{MoS}_2/\text{C}$  仍然具有较高的比容量<sup>[15]</sup>。为了确定碳包覆对  $\text{MoS}_2$  导电性能的影响, 对  $\text{MoS}_2$  和  $\text{MoS}_2/\text{C}$  进行了交流阻抗测试, 频率范围是 0.01~ $10^5$  Hz, 结果如图 7 (b) 所示。阻抗图是由高频区的一个半圆和低频区的斜线构成, 表示电极过程的电荷传递和离子扩散的阻力,  $\text{MoS}_2/\text{C}$  阻抗曲线半圆明显小于  $\text{MoS}_2$ , 而低频区的直线斜率与  $\text{MoS}_2$  相差不大, 说明  $\text{MoS}_2/\text{C}$  电池中电荷传递阻力、与电解液接触阻抗均小于  $\text{MoS}_2$ , 进一步证明了碳层包覆有效提高了  $\text{MoS}_2$  的导电性, 加快了电荷的传递速率, 减小了电池内阻<sup>[17]</sup>。

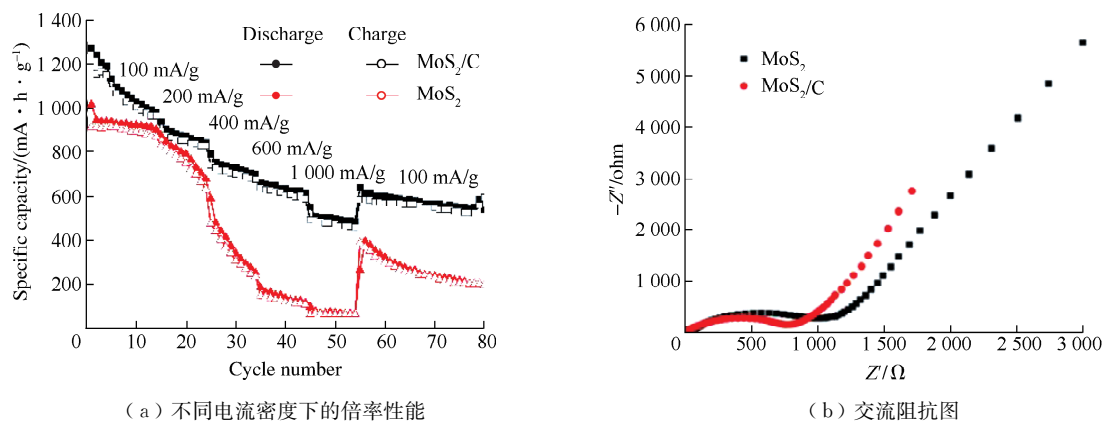


图 7  $\text{MoS}_2$  和  $\text{MoS}_2/\text{C}$  的倍率性能图和交流阻抗图

Fig.7 Rate capability and nyquist plots of the  $\text{MoS}_2$  and  $\text{MoS}_2/\text{C}$

### 3 结 论

首先以  $(\text{NH}_4)_2\text{MoS}_4$  为前驱体热分解制备了中空球形的  $\text{MoS}_2$ , 这种特殊的中空球形结构是由少层的  $\text{MoS}_2$  卷曲而成的一种类富勒烯结构的纳米材料, 直径在 70~100 nm, 球壁厚度在 10 nm 左右; 然后, 在中空球形  $\text{MoS}_2$  表面吸附多巴胺和热处理, 获得了表面均匀碳层包覆的球形  $\text{MoS}_2$  复合材料, 颗粒尺寸为 150~250 nm, 表面碳层厚度为 40~70 nm。在这种新颖的结构中, 中空球形结构的纳米  $\text{MoS}_2$  可以有效地缓解充放电过程中的剧烈体积效应, 表面碳层包覆可以有效改善  $\text{MoS}_2$  的导电性, 提升  $\text{MoS}_2$  负极材料的循环性能。因此,  $\text{MoS}_2/\text{C}$  复合材料在 100  $\text{mA/g}$  的电流密度下的初始放电比容量高达 1 132.1  $\text{mA} \cdot \text{h/g}$ , 50 次循环后, 放电比容量仍有 587.4  $\text{mA} \cdot \text{h/g}$ , 远高于商业化的石墨负极材料的理论比容量 (372  $\text{mA} \cdot \text{h/g}$ ), 显示出了在锂离子电池负极材料领域的巨大应用潜力。

**参考文献:**

- [1] WU M H, XIA S S, DING J F, et al. Growth of MoS<sub>2</sub> nanoflowers with expanded interlayer distance onto N-doped graphene for reversible lithium storage[J]. *ChemElectroChem*, 2018, 5(16): 2263-2270.
- [2] CHANG K, CHEN W X, MA L, et al. Graphene-like MoS<sub>2</sub>/amorphous carbon composites with high capacity and excellent stability as anode materials for lithium ion batteries[J]. *Journal of Materials Chemistry*, 2011, 21(17): 6251-6257.
- [3] LUO H, ZHANG L Z, YUE L. Synthesis of MoS<sub>2</sub>/C submicrosphere by PVP-assisted hydrothermal method for lithium-ion battery[J]. *Advanced Materials Research*, 2012, 531: 471-477.
- [4] LIANG S Q, ZHOU J, LIU J, et al. PVP-assisted synthesis of MoS<sub>2</sub> nanosheets with improved lithium storage properties[J]. *CrystEngComm*, 2013, 15(25): 4998-5002.
- [5] CHEN Y, SONG B H, TANG X S, et al. Ultrasmall Fe<sub>3</sub>O<sub>4</sub> nanoparticle/MoS<sub>2</sub> nanosheet composites with superior performances for lithium-ion batteries[J]. *Small*, 2014, 10(8): 1536-1543.
- [6] ZHANG C F, WU H B, GUO Z P, et al. Facile synthesis of carbon-coated MoS<sub>2</sub> nanorods with enhanced lithium storage properties[J]. *Electrochemistry Communications*, 2012, 20: 7-10.
- [7] WANG G X, BEWLAY S, YAO J, et al. Tungsten disulfide nanotubes for lithium storage[J]. *Electrochemical and Solid-State Letters*, 2004, 7(10): A321.
- [8] XIAO J, WANG X J, YANG X Q, et al. Electrochemically induced high-capacity displacement reaction of PEO/MoS<sub>2</sub>/graphene nanocomposites with lithium[J]. *Advanced Functional Materials*, 2011, 21(15): 2840-2846.
- [9] WENELSKA K, ADAM V, THAUER E, et al. Fabrication of 3D graphene/MoS<sub>2</sub> spherical heterostructure as anode material in lithium-ion battery[J]. *Frontiers in Energy Research*, 2022, 10: 960786.
- [10] DAVID L, BHANDAVAT R, SINGH G. MoS<sub>2</sub>/graphene composite paper for sodium-ion battery electrodes[J]. *ACS Nano*, 2014, 8(2): 1759-1770.
- [11] HU Z, LIU Q N, SUN W Y, et al. MoS<sub>2</sub> with an intercalation reaction as a long-life anode material for lithium ion batteries[J]. *Inorganic Chemistry Frontiers*, 2016, 3(4): 532-535.
- [12] KOROTEEV V O, STOLYAROVA S G, KOTSUN A A, et al. Nanoscale coupling of MoS<sub>2</sub> and graphene via rapid thermal decomposition of ammonium tetrathiomolybdate and graphite oxide for boosting capacity of Li-ion batteries[J]. *Carbon*, 2021, 173: 194-204.
- [13] LI Z Y, LIU S Y, VINAYAN B P, et al. Hetero-layered MoS<sub>2</sub>/C composites enabling ultrafast and durable Na storage[J]. *Energy Storage Materials*, 2019, 21: 115-123.
- [14] LI Z Y, OTTMANN A, SUN Q, et al. Hierarchical MoS<sub>2</sub>-carbon porous nanorods towards atomic interfacial engineering for high-performance lithium storage[J]. *Journal of Materials Chemistry A*, 2019, 7(13): 7553-7564.
- [15] LIU X G, TAN J, LI X, et al. Glucose-assisted one-pot hydrothermal synthesis of hierarchical-structured MoS<sub>2</sub>/C quasi-hollow microspheres for high-performance lithium-ion battery[J]. *Polymers*, 2021, 13(5): 837.
- [16] LI Z Y, OTTMANN A, ZHANG T, et al. Preparation of hierarchical C@MoS<sub>2</sub>@C sandwiched hollow spheres for lithium-ion batteries[J]. *Journal of Materials Chemistry A*, 2017, 5(8): 3987-3994.
- [17] LEE G H, KIM S J, KIM M C, et al. *In situ* formation of MoS<sub>2</sub>/C nanocomposite as an anode for high-performance lithium-ion batteries[J]. *RSC Advances*, 2016, 6(95): 92259-92266.

(责任编辑:李艳)